

تازک باکتریایی؛ ساختار، سرهمبندی و تولید گشتاور

سعید حسین زاده^۱، مسعود شمس بخش^{۲*}

دانشجوی کارشناسی ارشد
دانشیار گروه بیماری‌شناسی گیاهی، دانشگاه تربیت مدرس

چکیده

تازک باکتریایی یک نانوماشین دوار به قطر ۴۵ نانومتر می‌باشد که در غشاء یاخته‌ای جای گرفته و باکتری از آن برای جابجایی بهره می‌گیرد. اولین ساختار تحرکی که احتمالاً تازک می‌باشد، طی یک بیلیون سال اولیه تکامل پدید آمده و دارای پیچیدگی بسیار بالایی برای سازگاری با محیط می‌باشد. در مقایسه با تازک موجودات یوکاریوتویی که پیشرانه چرخشی دارند، تازک باکتری ای دارای پیشرانه چرخشی است. ساختار تازک از سه قسمت کلی؛ جسم قاعده‌ای، اتصالگر عمومی (قلاب) و رشته تشکیل شده است. در نتیجه مطالعات گذشته اجزاء سازنده تازک مشخص شده است و پیکره کلی آن نیز روش گردیده ولی هنوز تصویر روشنی از مکانیزم تولید گشتاور و چرخش این ساختار در دسترس نیست. سرهمبندی ساختار و انتقال اجزاء برون یاخته‌ای، به واسطه دستگاه ترشحی ویژه‌ای انجام می‌گیرد که با سیستم ترشحی نوع III باکتری‌ها همتایی دارد. توان موتور برای تولید گشتاور چرخشی، از جریان پرفشار یون های پرانرژی هیدروژن و سدیم از عرض غشاء داخلی به سمت سیتوسل گرفته می‌شود. در مقاله حاضر تحلیلی بر پیشرفت‌هایی که طی دهه‌های اخیر با استفاده از تکنیک‌های جدید بدست آمده است صورت می‌گیرد.

کلمات کلیدی: نانوماشین، تحرک شناگری، جسم قاعده‌ای، قلاب، رشته، تازک

مقدمه

می‌تواند داشته باشد متغیر بوده و تحت کنترل عوامل ژنتیکی است، از این رو بسته به گونه باکتری، تعدادشان و موقعیتشان متغیر است. تازک‌ها در هردو گروه باکتری‌های گرم منفی و گرم مشبت وجود دارند. سرعت باکتری‌ها در شناگری بسیار بالا بوده به طوری که می‌توانند در هر ثانیه ۵-۲۰ برابر طول خود حرکت نمایند که این مقدار از سرعت سریع ترین ماهی (*Opuntia tuna*) بیشتر است^(۳۴)، از این مقایسه می‌توان به آسانی به توانایی باکتری‌ها در شناگری پی برد. نوع آرایش تازک و تعداد تازک اهمیت زیادی داشته و لی غلظت مایع موجود در محیط اطراف باکتری نیز نقش بسزایی دارد^(۲۰).

ساختار تازک

ساختار کلی تازک را می‌توان به سه قسمت اصلی شامل ساختار جسم قاعده‌ای به عنوان موتور چرخشی و دستگاه صدور پروتئین، یک قلاب انعطاف پذیر و رشته غیرمنعطف تقسیم نمود که در شکل ۱ نمایش داده شد^(۶، ۷، ۳۳).

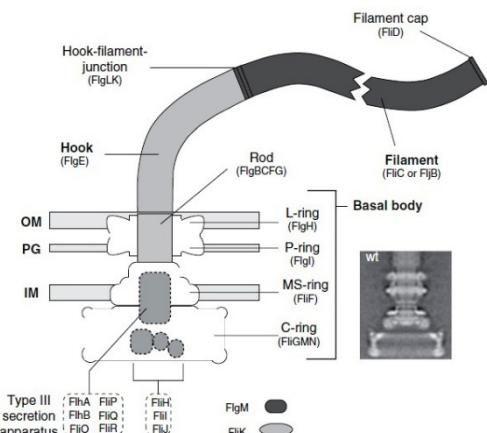
توسعه تحرک یاخته‌ای در دوره‌های اولیه تکامل، اهمیت ویژه‌ای داشته زیرا به کمک آن امکان جلب به شرایط مطلوب و فرار از محیط‌های نامطلوب فراهم می‌شود و یاخته‌ها می‌توانند با زیستگاه‌شان بهتر سازگار شوند. گمان می‌رود که پدید آمدن اولین ساختار تحرکی که احتمالاً تازک است، طی یک بیلیون سال اولیه تکامل انجام گرفته است^(۳۴). تازک (*Fallegellum*) از زبان لاتین گرفته شده است و به معنای شلاق می‌باشد. تازک برای شناگری باکتری در محیط اطراف ضروری است، مطالعات انجام گرفته با میکروسکوپ الکترونی، مبین این موضوع است که تازک، ساختاری پروتئینی، مارپیچی و یکپارچه داشته و قطری در حدود ۴۵ نانومتر و طولی در حدود ۱۵ میکرومتر (۱۰-۲۰ برابر طول یاخته) دارد. تعداد تازکی که یک یاخته باکتریایی

آدرس نویسنده مسئول: تهران-دانشگاه تربیت مدرس-دانشکده کشاورزی- گروه بیماری‌شناسی گیاهی

Email: shamsbakhsh@mail.modares.ac.ir

تاریخ دریافت مقاله: ۹۱/۰۳/۰۴

تاریخ پذیرش: ۹۱/۰۸/۰۳



شکل ۱- تصویر شماتیکی تازک. ساختار تازک از سه قسمت تشکیل شده است: ۱. جسم قاعده‌ای شامل دستگاه ترشحی. ۲. قلاب منعطف. ۳. رشته غیر منعطف (برگ فته از (۰۱۰۰) Erhardt et al., ۲۰۱۰).

غلاف (Bush): از آنجايی که هيچ يك از حلقه‌های پايان دست نقش استحکامي نداشته و منحصرا برای توليد گشتاور و صدور پروتئين تمایز یافته‌اند، از اين رو حلقه‌های واقعی P و L، همانند غلاف هستند که ميله را در بر گرفته و آن را در جايگاه خود ثبیت می‌کنند، که در واقع موجب پايداري رشته و قلاب نيز می‌شوند. حلقه P در داخل ديواره پپتيدوگلیكان و حلقة L در داخل لایه ليپوپروتئيني باكتريهای گرم منفي قرار دارد و به ترتیب از پروتئین‌های L و H تشکیل یافته‌اند (۷). قلاب (Hook): قلاب ساختاري لوله‌اي و خميده دارد که موتور تازه‌ک را به رشته بلند تازه‌ک متصل می‌کند. قلاب از حدود ۱۲۰ نسخه پروتئين F1gE ساخته شده است. به چندين دليل به قلاب، اصطلاح اتصالگر عمومي اطلاق می‌شود؛ قلاب همانند گارдан خودرو عمل کرده و با اينکه با رشته متحددالمرکز نيسوت ولی به طور کارآمدی گشتاور را از موتور به رشته منتقل می‌نماید، قلاب چرخش هماهنگ چندين رشته از يك ياخته واحد با موتورهای متفاوت را امکان پذير می‌کند و از سوی ديگر باكتري را قادر می‌سازد تا در هنگام لزوم بغلتند (۳۲). رشته بسيار غيرمنعطف بوده و امکان پيچش با اين زاويه را ندارد، به طوری که در هنگام حرکت مستقييم، تغيير جهت، چرخش و حتی غلتیدن، تکانه وارد تا حدی شديد است که رشته توانايي تحمل آن را ندارد. علاوه بر پروتئين ياد شده،

1-Rod Associated Proteins

2-Hook Associated Proteins

3-Filament Associated Proteins

4-Tumbling

جسم قاعده ای از چهار قسمت تشکیل یافته است که عبارتند از:

موتور دوار (Reversible motor): موتور تازک از دو قسمت مهم روتور و استاتور تشکیل شده است؛ روتور، شامل حلقه‌های C، M و S (که گاهی حلقه MS نیز گفته می‌شود) می‌باشد، حلقه C از پروتئین‌های FliN، FliM و دامنه FliG_{MC} پروتئین FliG تشکیل شده است. حلقه M از دامنه FliG_N پروتئین FliG و FliF_M پروتئین FliF ساخته شده است و حلقه S از دامنه FliF_S پروتئین FliF تشکیل شده است (۱۶). استاتور از دو پروتئین اصلی MotA و MotB ساخته شده است و بخشی از جسم قاعده‌ای است که انرژی بیوشیمیایی حاصله از جریان پرفشار یون‌های هیدروژن و سدیم را به انرژی مکانیکی گشتاور Protein se- تبدیل می‌کند (۷، ۱۹). دستگاه صدور پروتئین (cretory system): سیستم ترشحی تازک شباهت بسیار زیادی با سیستم ترشحی نوع ۳ باکتری‌ها دارد، به طوری که عقیده بر این است این دو سیستم از یک جد مشترک مشتق شده‌اند (۵) و گاهی آن را سیستم ترشحی نوع ۳ تازک نیز می‌گویند (۱۳). عقیده بر این است که دستگاه ترشحی نوع ۳ تازک در داخل حلقه MS مونتاژ می‌شود، ساختمان دستگاه ترشحی شامل ۶ پروتئین درون غشایی FlhA، FlhB، FlhO، FliP، FliQ، FliR و ۳ پروتئین سیتوپلاسمی FliH، FliI، FliJ می‌باشد که برای صدور پروتئین‌های وابسته به میله (RAP^۱)، وابسته به قلاب (FAP^۲) و ضروری‌اند (HAP^۳) (۲۲، ۲۴، ۲۹). میله (Rod): بر اساس موقعیت قرارگیری، دو میله پایین (proximal rod) و میله بالا (distal rod) در ساختار تازک وجود دارد. میله پایین از پروتئین‌های FlgF، FlgC، FlgB، FliE و میله بالا از پروتئین FliG ساخته شده است که در واقع میله در داخل حلقه S، L و P قرار می‌گیرد و حدود ۳۰۰ آنگستروم طول دارد. میله پایین از بالای سیستم ترشحی و از میان حلقه S آغاز و تا حلقه P ادامه می‌یابد، میله بالا از ابتدای حلقه P آغاز و از میان حلقه L نیز گذشته و به قلاب وصل می‌شود (جهت مونتاژ هردوی این میله‌ها یک کلاهک مشترک به کار گرفته می‌شود) (۹، ۲۵).

مونتاژ در شکل ۲ آمده است.

مونتاژ حلقه MS و اجزاء غشاء سیستم ترشحی

شروع مونتاژ با اجزای غشائی بوده که از طریق سیستم ترشحی نوع ۲ به غشاء ترشح می‌شوند. مونتاژ اجزای حلقه MS از سایر اجزای تازک مستقل بوده و این پروتئین خود مونتاژگر است و به کمک دامنه‌های (domain) خود عمل مونتاژ حلقه را انجام می‌دهد. جزئیات دقیق فرآیند مونتاژ مشخص نیست ولی احتمالاً پروتئین‌های حلقه MS و اجزای سیستم ترشحی با هماهنگی یکدیگر ترشح و مونتاژ می‌شوند (۱۵). دو احتمال این فرضیه را تقویت می‌کند؛ اول اینکه پروتئین‌های ترشحی با اجزای حلقه MS در تعامل‌اند، که این موضوع در مورد پروتئین FlhA به اثبات رسیده است و دوم اینکه اجزای MS سیستم ترشحی به هنگام ایجاد جهش در اجزای حلقه MS دیگر نمی‌توانند مونتاژ شوند. بنابراین حلقه MS نقش بسیار مهمی در ساختار، مونتاژ و عملکرد تازک ایفا می‌کند (۱۷). این حلقه اولاً به عنوان صفحه‌ای برای مونتاژ روتورسوئیچ عمل می‌کند، ثانیاً با FliE برهم کنش برقرار نموده و چرخش تازک را امکان پذیر می‌نماید و ثالثاً به عنوان محفظه‌ای برای اجزای سیستم ترشحی عمل می‌کند (۱۱، ۱۷). شکل گیری پروتئین‌های MotA و MotB با انتشار ساده انجام می‌پذیرد، این پروتئین‌ها در داخل مجموعه استاتور دایمر می‌شوند به طوری که تعداد دایمرهای MotA همیشه دوبرابر دایمر MotB است، دایمر MotB در مرکز قرار گرفته و دایمرهای MotA در حول آن ردیف می‌شوند (۳۸). از سوی دیگر MotB به لایه پپتیدوگلیکان متصل می‌شود و مجموعه را استحکام می‌بخشد (۱۷، ۷).

دو پروتئین دیگر نیز در ساختار قلب وجود دارند، پروتئین ۱ وابسته به قلب (HAP1^۱) و پروتئین ۳ وابسته به قلب (HAP3) نیز در ساختار قلب دیده می‌شوند (پروتئین ۲ وابسته به قلب، ساختار کلامک قلب را تشکیل می‌دهد) (۱۰). این پروتئین‌ها در انتهای قلب قرار گرفته و احتمالاً به دلیل تفاوت‌های زیاد ساختاری قلب و رشتہ این دو پروتئین به عنوان مبدل‌های حدواسط بین قلب و رشتہ قرار می‌گیرند زیرا قلب یک ساختار بسیار منعطف است حال آنکه رشتہ بسیار سخت می‌باشد (۱۸). طول قلب کاملاً کنترل شده بوده و حدود 55 ± 6 نانومتر است (البته مطالعات نشان می‌دهد که در صورت جهش‌زایی در دو پروتئین دخیل در صدور اجزای پروتئینی یعنی FlhB و FliK، طول آن ممکن است بلندتر باشد). از لحاظ تقارن ساختار قلب بسیار مشابه رشتہ است به طوری که به ازای هردوپیچ، ۱۱ زیرواحدهای این دو بسیار متفاوت می‌باشد (۳۱، ۳۲). رشتہ مشابه رشتہ ای (Filament): رشتہ ساختاری شلاق مانند مارپیچی با حدود ۱۵ میکرومتر طول و $120-150$ آنگستروم قطر، وظیفه تحرك باکتری را بر عهده دارد. رشتہ از نسخه‌های متعدد پروتئین FliC (فلازلین) ساخته شده است. رشتہ ساختار لوله‌ای داشته و در هر دو دور، از ۱۱ پروتوفیلامنت با دو صورت‌بندی^۲ متفاوت راستگرد و چپگرد تشکیل شده است (۳۸). تحرك باکتری غالباً به صورت رانش^۳ و یا غلتش است، به هنگام رانش تازک پادساعت‌گرد می‌چرخد که در این حالت صورت‌بندی زیرواحدهای رشتہ چپگرد است ولی به هنگام غلتش به یکباره جهت چرخش موتور تغییر پیدا کرده و به صورت ساعت‌گرد در می‌آید که به دنبال آن صورت‌بندی زیرواحدهای رشتہ نیز به حالت راستگرد در می‌آیند (۴۰).

پروتئین‌های مهم تشکیل دهنده تازک
بر حدود ۳۰ نوع هستند که به تعداد مختلف دستگاه تازک را می‌سازند، فهرستی از این پروتئین‌ها، وظایف و اندازه‌شان در جدول ۱ آمده است.

مونتاژ

مونتاژ تازک فرآیند بدون وقفه‌ای است و برای سهولت مطالعه آن را به مراحل متعددی تقسیم‌بندی می‌کنند، نمای کلی

T-Hook Associated Protein
2-conformation
3-run

جدول ۱- پروتئین های تشکیل دهنده دستگاه تازک^b در سالمونلا و E.coli (برگرفته از (۳،۱۷))

نام پروتئین ^a	موقعیت قرار گیری	اندازه مولکولی (کیلوdalton)	وظیفه
FliF	غشای داخلی	۵۵۲	بدنه روتور
FlhA	داخل حلقه MS	۶۹۲	صدور پروتئین
FlhB	داخل حلقه MS	۳۸۲	کنترل طول قلاب
FliO	داخل حلقه MS	۱۲۱	سیستم تیپ ۳ ترشحی تازک
FliP	داخل حلقه MS	۲۴۵	سیستم تیپ ۳ ترشحی تازک
FliQ	داخل حلقه MS	۸۹	سیستم تیپ ۳ ترشحی تازک
FliR	داخل حلقه MS	۲۶۱	سیستم تیپ ۳ ترشحی تازک
FliI	طرف سیتوپلاسمی غشا	۴۵۷	سیستم تیپ ۳ ترشحی تازک
FliH	طرف سیتوپلاسمی غشا	۲۳۵	سیستم تیپ ۳ ترشحی تازک
FliJ	طرف سیتوپلاسمی غشا	۱۴۷	سیستم تیپ ۳ ترشحی تازک
FliM	طرف سیتوپلاسمی غشا	۳۳۴	روتور / تعییر جهت چرخش
FliN	طرف سیتوپلاسمی غشا	۱۳۷	روتور / تعییر جهت چرخش
FliG	طرف سیتوپلاسمی غشا	۳۳۱	روتور / تعییر جهت چرخش
Flgl	دیواره پیتیدوگلیکان	۳۶۵	بوش
FlgH	غشای خارجی	۲۲۲	بوش
FlgA	حدفاصل پری پلاسمی	۲۱۹	P مونتاژ حلقه
FliE	حدفاصل پری پلاسمی	۱۰۴	محور محرکه
FlgJ	حدفاصل پری پلاسمی	۳۱۳	کلاهک میله
FlgB	دیواره پیتیدوگلیکان	۱۲۸	محور محرکه
FlgC	دیواره پیتیدوگلیکان	۱۲۴	محور محرکه
FlgF	دیواره پیتیدوگلیکان	۲۵۱	محور محرکه
FlgG	بیرون از یاخته	۲۶۰	محور محرکه
FlgE	بیرون از یاخته	۴۰۲	ساختار قلاب
FlgD	بیرون از یاخته	۲۳۱	کلاهک قلاب
FlgK	بیرون از یاخته	۵۴۷	اتصالگر
FlgL	بیرون از یاخته	۳۱۷	اتصالگر
FliC	بیرون از یاخته	۴۹۸	رشته
FliD	بیرون از یاخته	۴۶۸	کلاهک رشته
MotA	غشای درونی / سیتوپلاسم	۲۹۵	موتور / استاتور
MotB	غشای درونی / دیواره پیتیدوگلیکان	۳۰۸	استاتور

a اسمای اصلی ژن و پروتئین های تازک مربوط به سالمونلا و اکلای توسط نام گذاری سال ۱۹۸۸ اصلاح و جایگزین شده است.

b اعتقاد بر این است که تمامی این پروتئین ها به طور بهم پیوسته در غشاء و دور منفذ و داخل حلقه MS گرد هم آمده اند.

مونتاژ روتور/سوئیچ

به پروتئین FliF ندارد. پروتئین FliF یکی از اجزای تشکیل دهنده جسم قاعده‌ای و یکی از پروتئین‌های مورد ترشح از طریق سیستم ترشحی نوع ۳ است. این میله ابتدایی متصله از FliF می‌تواند به عنوان یک مدل عمل نماید زیرا ساختارهای بالادرست آن تقارن مارپیچی دارند حال آنکه اجزای پایین دست تقارن حلقوی دارند. البته با این وجود نیز مقداری ناهماهنگی وجود دارد زیرا حلقه MS از ۲۶ زیرواحد تشکیل شده است در حالی که ساختارهای بالادرست (میله انتهایی، قلب، و رشته) از حدود ۵/۵ واحد به ازای هر دور ساخته شده‌اند (۱۷). در ادمه پروتئین‌های میله انتهایی شامل FlgC، FlgB، FlgF، و FlgG از مسیر ترشحی نوع ۳ تاژک صادر می‌شوند (۱۴). البته پروتئین پنجمی موسوم به FlgJ نیز وجود دارد که در ساختار میله شرکت نمی‌کند ولی در مونتاژ آن نقش ویژه‌ای ایفا می‌کند. این پروتئین دو نقش مهم شامل فعالیت مورامیدازی و اتصال به پروتئین‌های FliJ میله و چینش آن‌ها بر عهده دارند. عقیده بر این است که خود مونتاژگر برای پروتئین‌های میله عمل نموده و ظاهرا FliE اولین پروتئین از ۵ پروتئین میله است که کلاهک آن را مونتاژ می‌کند (۹). در حالت کلی می‌توان عنوان نمود که FliE در ابتدا خود مونتاژ می‌شود و سپس پروتئین کلاهک، FlgJ مونتاژ می‌گردد که خود مونتاژ است، متعاقباً پروتئین‌های FlgC، FlgB و FlgF به ترتیب صادر و در زیر کلاهک و به کمک کلاهک سرهم بندی می‌شوند و سرانجام پروتئین FlgG نیز صادر و به کمک کلاهک مونتاژ می‌شود (۱۷، ۲۱، ۲۵). عقیده بر این است که فعالیت مورامیدازی سی-ترمینال پروتئین FlgJ به طور موضعی دیواره پپتیدوگلیکان را سوراخ نموده و به میله اجازه نفوذ به بیرون از یاخته می‌دهد. این نظریه به وسیله موتانت‌های پروتئینی که ان-ترمینال سالم ولی سی-ترمینال جهش یافته دارند و قادر قلب و حلقة L می‌باشند، حمایت می‌شود (۷، ۲۵، ۲۸).

مونتاژ حلقة P و L

هردوی اجزای سازنده حلقه‌های P و L که به ترتیب پروتئین‌های FlgI و FlgH می‌باشند، دارای سیگنال پپتید قابل برش می‌باشند که نشان می‌دهد آن‌ها از مسیر سیستم ترشحی نوع ۲ منتقل می‌شوند. از میان اجزای تاژک، زیر واحدهای حلقة L

حلقه C و پروتئین FliG از بین پروتئین‌ها غشائی نقش منحصر به فردی دارند و با یکدیگر ساختار روتور/سوئیچ را می‌سازند که ببروی حلقة MS سوار می‌شوند (۸). از آنجایی که اتصال FliG به حلقة MS بسیار محکم است، احتمالاً در ابتدا این پروتئین به حلقة MS متصل می‌شود، و سپس اجزای حلقة C یعنی پروتئین‌های FliM و FliN به دنبال آن مونتاژ می‌شوند ولی اینکه به چه شکلی و به چه قسمتی از حلقة MS متصل می‌شوند هنوز مشخص نیست. در صورتی که اجزای سیستم ترشحی وجود نداشته باشند اجزای حلقة C و FliG می‌توانند در داخل حلقة MS مونتاژ شوند ولی این موضوع در مورد یاخته‌های نوع وحشی بعيد به نظر می‌رسد (۲). با این وجود، اطلاعات آزمایشگاهی بسیار اندکی در زمینه مونتاژ ساختار روتور/سوئیچ وجود دارد ولی به نظر این اجزاء خود مونتاژگر هستند. پروتئین‌های FliM، FliN، و G با همدیگر مجموعه سوئیچ را می‌سازند. البته در جنس باسیلوس ممکن است پروتئین CheY-فسفاتاز موسوم به FliY، نیز در این مجموعه قرار گیرد (۳۶). این مجموعه سوئیچ برای اعمالی همانند مونتاژ تاژک، تولید گشتاور، اتصال به پروتئین CheY-P و تغییر جهت چرخش ضروری است (۱۱، ۱۷).

مونتاژ سیستم ترشحی نوع ۳ تاژک

بیشتر اجزای پروتئینی ساختارهای بالادرست تاژک به جز اجزای حلقه‌های P و L از طریق سیستم ترشحی نوع ۳ تاژک صادر می‌شوند. پروتئین‌ها از طریق اجزای سیتوپلاسمی این سیستم به قاعده سیستم ترشحی واقع در داخل حلقة MS آورده می‌شوند و پس از باراندازی از طریق اجزای سیتوپلاسمی سیستم ترشحی صادر می‌شوند (۱۷).

مونتاژ FliE و میله تاژک

احتمالاً اولین پروتئینی که از مسیر ترشحی نوع ۳ تاژک صادر می‌شود FliE است، یک پروتئین بسیار غیرمعمول است زیرا شباهت زیادی به سایر زیرواحدهای ساختارهای بیرونی (میله، قلب، و رشته) دارد ولی با این وجود هیچگونه شباهتی

ژنتیکی درباره تولید گشتاور بدست آمده است. با این حال مدل‌ها متعددی برای تولید گشتاور پیشنهاد شده است ولی هنوز هیچ کدام به قطعیت نرسیده‌اند.

برهم کنش روتور و استاتور

عقیده دانشمندان بر این است که گشتاور مورد نیاز چرخش تازک از برهم کنش ناحیه حلقه سیتوپلاسمی اجزای متشکله استاتور، MotA و دامنه سی-ترمینال جزء متشکله روتور یعنی FliG تولید می‌شود. برهم کنش روتور-استاتور وابسته به جریان یون‌های هیدروژن و سدیم از داخل استاتور می‌باشد که به سبب شبکه الکتروشیمیایی برقرار بین سیتوپلاسم و فضای پری‌پلاسمی صورت می‌گیرد. در موتور *E. coli* این اسیدهای آمینه در پروتئین MotA شامل Arg90، Glu98، Arg281 و در پروتئین FliG شامل اسیدهای آمینه Arg281، Arg289 و Arg297، Asp289 و Arg297 می‌باشند. در حالت کلی برهم کنش‌های الکترواستاتیکی بین روتور و استاتور برای تولید گشتاور اهمیت ویژه‌ای دارند (۳۵، ۳۸). تجزیه و تحلیل‌های بیوشیمیایی برهم کنش بین روتور و استاتور هنوز به مرحله‌ای نرسیده است که با تجزیه و تحلیل‌های ژنتیکی قابل مقایسه باشد. تنها مطالعه انجام شده برهم کنش MotA-FliG یا MotA-FliM با استفاده از بررسی‌های کاستن یک به یک اجزاء بررسی شده است. اگرچه ساختار مجموعه استاتور تا کنون معروف نشده است و از نظر خصوصیات فیزیکی نیز مجموعه استاتور هنوز نامشخص است، ولی مطالعات سیستمیک براساس جهش‌زایی نشان می‌دهد که آسپاراتات ۳۲ پروتئین MotB باکتری *E. coli*، تنها جزئی در بین اجزای سازنده موتور است که می‌تواند پروتون را پذیرفته و مسئول تولید گشتاور باشد، از این رو پیشنهاد شده است که گذر پروتون و تاثیر آن بر روی آسپاراتات موجب تغییر صورت‌بندی مجموعه استاتور و موجب گردش موتور می‌شود. جهش در پرولین ۱۷۷ و ۲۲۲ موجب از بین رفتن و یا تاثیر بسیار مخرب، روی حرکت می‌شود. از این رو به نظر می‌رسد این اسیدهای آمینه صورت‌بندی مجموعه MotA/MotB را تنظیم نموده و یا تغییر صورت‌بندی آن‌ها را کنترل می‌کنند (۴، ۱۲، ۳۷، ۳۸).

و P و نیز تمامی زیرواحدهایی که برای مونتاژ این اجزاء نیاز است نیز باید از طریق سیستم ترشحی نوع ۲ به پری‌پلاسم منتقل شوند. ولی بقیه اجزاء از طریق خود سیستم ترشحی تازک منتقل می‌شوند. بعد از ترشح FlgI و FlgH به پری‌پلاسم از طریق مسیر Sec که با برش نشانه پیتیدی همراه است، این اجزاء به دور میله مونتاژ گردیده و ایجاد حلقه‌ها را آغاز می‌کنند (۱۷، ۲۷).

مونتاژ قلاب

پدیده بعدی در مونتاژ جایگزینی کلاهک میله با کلاهک قلاب متشکله از FldG می‌باشد. قلاب دقیقاً تا اندازه ۵۵ نانومتر گسترش می‌یابد. هنگامی که طول قلاب به میزان مشخص و معین رسید کلاهک متلاشی شده و با دو دسته پروتئین جایگزین می‌شوند که پروتئین‌های وابسته به قلاب نامیده می‌شوند. دو پروتئین اتصالگر در همان محل رشد جایگزین می‌شوند ولی پروتئین کلاهک در سطح مونومرهای فلاژلین می‌چرخد و این مونومرها از زیر کلاهک به انتهای رشته اضافه می‌شوند. در هر صورت از این پروتئین‌ها هم انتظار می‌رود که برهم کنش چهارجانبه مشابه‌ای با اجزای مجاور داشته باشند (۱۷، ۲۰).

نقش کلاهک رشته در مونتاژ

سرانجام برآیند تمام زیر ساخت‌ها پدید می‌آید یعنی مونتاژ رشته آغاز می‌گردد. یک تک رشته می‌تواند از بیش از بیست هزار زیرواحد تشکیل یابد. البته رشته ممکن است در شرایط مختلفی شکسته شود ولی دوباره طول آن ترمیم می‌گردد و فرآیند صدور پروتئین‌های کلاهک و پروتئین‌های تشکیل دهنده رشته یک فرآیند مستمر است و ممکن است کلاهک گذاری دوباره بلافصله صورت گیرد. بنابراین می‌توان گفت که کلاهک به عنوان یک فیلتر انتخابی عمل می‌کند و می‌تواند برخی از پروتئین‌ها را پس زده و آن‌ها را دوباره به جسم قاعده‌ای برگرداند در حالی که برخی دیگر را مونتاژ نماید (۱۷، ۴۱).

تولید گشتاور

اطلاعات مستند بسیار اندکی از راه مطالعات بیوشیمیایی و

پلاگ شده و کanal پروتونی را باز می کند. از این رو، ممکن است این پلاگ نقش مرکزی در تنظیم باز و بسته نمودن کanal داشته باشد (۳۸، ۴).

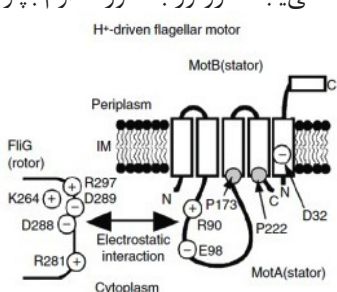
اختصاصیت به یون ها

تاکنون دو نوع موتور براساس نوع یونی (سدیم، هیدروژن) که انتقال می دهنند شناسایی شده است. بسیاری از باکتری های *B. subtilis*, *S. typhimurium*, *E. coli* متحرک شامل *Pseudomonas aeruginosa*, *R. sphaeroides* و *V. alginolyticus* باسیلوس های قلیادوست موتور تازک وابسته به یون سدیم دارند. ظاهرا *V. alginolyticus* در مکان هایی از دریا زندگی می کند که یون های سدیم فراوان وجود دارند، احتمالاً زیستگاه آن ها با سیستم موتور تازک مرتبط می باشد (۳۸، ۲۳، ۴). کدام قسمت از پروتئین های استاتور مسئول اختصاصیت یونی است؟ استاتور وابسته به یون هیدروژن *Rhodobacter sphearoïdes* از پروتئین MotA (RsMotA) و MotB (RsMotB) تشکیل یافته است و مشخص شده است که از نظر ساختاری RsMotA شباهت بسیار زیادی به استاتور وابسته به یون سدیم *V. alginolyticus* باکتری دارد. هردوی این پروتئین ها از ۲۵۳ آمینواسید تشکیل یافته اند و حدود ۴۰ درصد از لحاظ تردaf به هم شباهت دارند. ولی منحصراً دامنه تراغشایی RsMotB با ناحیه مشابه از PomB شباهت دارد. هنگامی که tA در موتانت های pomA باکتری *V. alginolyticus* بیان شود موتور فعالیت خود را هنوز ادامه می دهد و می تواند از منبع یون سدیمی استفاده نماید. از سوی دیگری بیان RsMotB به همراه RsMotA در موتانت های pomB باکتری *V. alginolyticus*, یاخته غیر متحرک حاصل می کند. از این رو عامل تعیین کننده اختصاصیت یونی لزوماً باید روی پروتئین PomB (یا MotB) باشد. یک سری از پروتئین های شیمر (chimeric)، متشکله ازان-ترمینال RsMotB و سی-ترمینال PomB (موسوم به PomB)، ساخته شده است. برخی از پروتئین ها دارای قسمت تراغشایی RsMotB را به طور کامل داشتند در مجاورت RsMotA به عنوان استاتور نوع یون سدیم عمل کرده و از یون های سدیم به عنوان منبع انرژی استفاده می کنند.

نواحی متصل شونده به یون ها

یک سری نواحی در کanal استاتور وجود دارد که به اعتقاد دانشمندان واحد D32 پروتئین MotB باکتری *E.coli* و واحد D24 پروتئین PomB باکتری *V. alginolyticus* می باشند. یون های هیدروژن و سدیم با اسیدآمینه های با شارژ منفی استاتور ارتباط برقرار می کند. جایگزینی آسپاراتات موقعیت ۳۲ پروتئین MotB با اسیدآمینه های مختلف، نشان می دهد که تمام اسیدآمینه های دیگر به جز گلوتامات در این موقعیت غیرفعال اند (۱). از این رو، در پروتئین MotB واحد D32 به عنوان ناحیه ای است که پروتون بدان متصل می گردد. همین طور در مورد D24 پروتئین PomB نیز به عنوان ناحیه متصل شونده به یون سدیم عمل می کند. اخیراً ثابت شده است که یک زنجیر منفرد در انتقال پروتون نقش نداشته بلکه چندین زنجیره شامل گروه های کربوکسیل بهم پیوسته در تشکیل ناحیه متصل شونده به یون سدیم همکاری می کنند. از این رو در مورد مجموعه PomA/PomB ممکن است اسیدآمینه های دیگری نیز وجود داشته باشد که در تشکیل نواحی متصل شونده به یون سدیم نقش داشته باشند، احتمالاً واحد D148 از پروتئین PomA و واحد P16 از پروتئین PomB از این دست اسیدآمینه ها باشند. همچنین ممکن است اسیدآمینه های مدخل کanal و منفذ خروجی کanal و حتی گروه های کربونیل زنجیرهای داخلی کanal نیز در جریان انتخابی یون ها نقش بسیار مهمی ایفا کنند (۴، ۳۸). هنگامی که ۶۰ آمینواسید ان-ترمینال MotB با یک پلی پپتید ترا ریخته آمیخته می شود، بیش بیانی این پلی پپتید به همراه پروتئین MotA موجب اختلال در رشد یاخته ای می گردد که این اختلال در رشد را به واحد D32 پروتئین MotB نسبت می دهد. بر اساس این نتایج می توان پیشنهاد کرد که بخشی از مجموعه (احتمالاً دامنه پری پلاسمی MotB) جریان پروتون را از میان MotB بلوکه کرده و مجموعه را غیرفعال می کند. تجزیه و تحلیل جزئیات این ناحیه مدلی را ارائه می دهد که در آن قطعه موسوم به پلاگ از یک مارپیچ آلفای آمفی پاتیک تشکیل یافته است و به داخل غشای یاخته ای رخنه نموده و سطح پری پلاسمی آن سطح کanal را ایجاد می نماید. برهم کنش مجموعه MotA/MotB با جسم قاعده ای تازک موجب تحریک

پروتئین FliG یک دامنه میانی موسوم به FliG_M دارد که در بین اسیدآمینه‌های ۱۱۵ تا ۱۹۰ واقع شده است و زیرواحدهای حفاظت شده EHPQ (۱۲۸-۱۲۵) و R₁₆₀ (ماتیف) در این قسمت واقع شده است که برای اتصال به پروتئین FliM ضروری می‌باشد. دامنه سی-ترمینال (۱۹۸-۳۳۵) یک سطح حفاظت شده آبگریز ایجاد می‌کند که برای برهم کنش الکترواستاتیکی با پروتئین موتور MotA ضروری است، به طوری که برهم کنش ۵ اسیدآمینه شارژ شده از این منطقه با پروتئین موتور مذکور برای تولید گشتاور اهمیت ویژه‌ای دارد (۴۲). این اسیدآمینه‌ها در مناطق بیرونی پروتئین در دامنه سی-ترمینال می‌باشند به طوری که این پنج اسیدآمینه در دودسته، یک ساختار V شکل ایجاد می‌کنند. دامنه میانی از طریق یک مارپیچ آلفا و یک اتصالگر کوتاه به دامنه سی-ترمینال متصل می‌گردد، به طوری که این رابطه‌ها دارای تکرارهای حفاظت شده گلیسین پشت سرهم می‌باشند. ظاهرا این دامنه‌ها در تحرک و انعطاف پذیری هردو دامنه تاثیر دارند. از این رو احتمال دارد که نحوه ارتباط این دو دامنه در جهت چرخش روتور اهمیت زیادی داشته باشد. ساختار V شکل سی-ترمینال پروتئین FliG با دو اسیدآمینه شارژ شده در لوب سیتوپلاسمی پروتئین MotA برهم کنش الکترواستاتیکی برقرار می‌کند (شکل ۴). بررسی‌ها نشان می‌دهد که طی حالت اولیه شارژهای غیر هم نام از پروتئین G و MotA روبروی یکدیگر قرار می‌گیرند و باعث می‌شود تا پروتئین FliG در این راستا حرکت کند سپس با اتصال یون‌های پرانژی به آسپاراتات شماره ۳۲ MotB ۳۲ این پروتئین تغییر صورت‌بندی می‌دهد و موجب تغییر صورت‌بندی MotA می‌شود به طوری که اسیدآمینه‌های با شارژ هم نام روبروی یکدیگر قرار می‌گیرند و باعث دفع همدیگر می‌شوند. این چرخه ادامه می‌یابد تا روتور به طور مداوم بچرخد (۴۰، ۴۱).

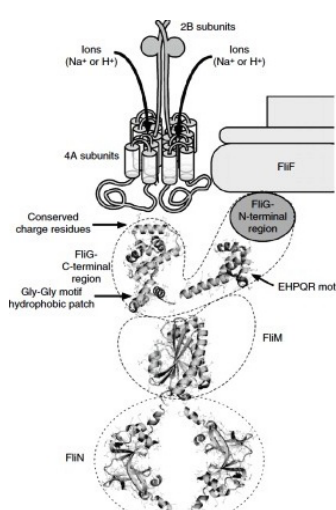


شکل ۴- برهم کنش الکترواستاتیکی لوب سیتوپلاسمی پروتئین FliG و سی-ترمینال MotA (۴۱)

سپس مشخص شد که پروتئین شیمر PotB، که از آن-ترمینال تراغنائی PomB و سی-ترمینال پری‌پلاسمیک MotB باکتری *E.coli* ساخته شده است، در داخل باکتری *E.coli* هنگامی که همراه PomA بیان شود به عنوان استاتور یون سدیم عمل می‌کند. در این مورد می‌توان عنوان کرد که منحصراً پروتئین‌های PomA و PotB برای استفاده از یون‌های سدیم به عنوان منبع انرژی لازم است. این مطالب گواه این موضوع هستند که دامنه سیتوپلاسمی و تراغنائی مجموعه PomA/PotB برای استفاده از یون سدیم کافی هستند و قسمت MotX (PomB و MotB) لزوم وجود MotY را برای عملکرد استاتور ثابت می‌کند. احتمالاً متغیر بودن اندازه کanal در استاتورهای شیمر روی اختصاصیت یونی نیز تاثیر بگذارد (۴۲، ۴۳).

انتقال گشتاور از موتور به روتور

پروتئین‌های FliG، FliM و FliN ساختار سوئیچ را می‌سازند که در تولید چرخش، مونتاژ و تغییر جهت چرخش اهمیت دارد و در صورت جهش در این ساختارها و یا هرگونه اختلال در آنها موجب ایجاد فتوتیپ‌های فاقد تازک، قادر تحرک و قادر کمotaکسی می‌شود. بررسی‌ها نشان داده است که اسیدآمینه شماره ۴۶ ناحیه ان-ترمینال پروتئین FliG برای برهم کنش با پروتئین FliF و انتقال گشتاور ضروری است، به طوری که این دو پروتئین با نظم یک به یک به هم متصل شده‌اند (شکل ۳).



شکل ۳- ساختار انتقالگر انرژی مکانیکی از استاتور به روتور نشان داده شده است (۴۱).

منابع

- (1) Asai Y, Yakushi T, Kawagishi I, Homma M. Ion-coupling determinants of Na⁺-driven and H⁺-driven flagellar motors. *J Mol Biol*, 2003; 327 (2): 453-463.
- (2) Bardy SL, Ng SYM, Jarrell KF. Prokaryotic motility structures. *Microbiology*, 2003; 149 (2): 295-304.
- (3) Berg HC. The rotary motor of bacterial flagella. *Biochemistry*, 2003; 72 (1): 19.
- (4) Berry RM, Armitage JP. The bacterial flagella motor. *Adv Microb Physiol*, 1999; 4: 291-337.
- (5) Blocker A, Komoriya K, Aizawa SI. Type III secretion systems and bacterial flagella: insights into their function from structural similarities. *Proc Natl Acad Sci USA*, 2003; 100 (6): 3027.
- (6) Derosier D. Bacterial Flagellum: Visualizing the Complete Machine In Situ. *Curr Biol*, 2006; 16 (21): R928-R930.
- (7) Erhardt M, Namba K, Hughes KT. Bacterial nanomachines: the flagellum and type III injectisome. *Cold Spring Harb Perspect Biol*, 2010; 2 (11).
- (8) Francis NR, Sosinsky GE, Thomas D, Derosier DJ. Isolation, characterization and structure of bacterial flagellar motors containing the switch complex. *J Mol Biol*, 1994; 235 (4): 1261.
- (9) Hirano T, Minamino T, Macnab RM. The role in flagellar rod assembly of the N-terminal domain of *Salmonella* FlgJ, a flagellum-specific muramidase1. *J Mol Biol*, 2001; 312 (2): 359-369.
- (10) Homma M, Derosier DJ, Macnab RM. Flagellar hook and hook-associated proteins of *Salmonella typhimurium* and their relationship to other axial components of the flagellum. *J Mol Biol*, 1990; 213 (4): 819-832.
- (11) Jones CJ, Macnab RM. Flagellar assembly in *Salmonella typhimurium*: analysis with temperature-sensitive mutants. *J Bacteriol*, 1990; 172 (3): 1327-1339.
- (12) Kojima S, Blair DF. Conformational change in the stator of the bacterial flagellar motor. *Biochemistry*, 2001; 40 (43): 13041-13050.
- (13) Kubori T, Matsushima Y, Nakamura D, Uralil J, Lara-Tejero M, Sukhan A, Aizawa SI. Supramolecular structure of the *Salmonella typhimurium* type III protein secretion system. *Science*, 1998; 280 (5363): 602-605.
- (14) Kubori T, Shimamoto N, Yamaguchi S, Namba K, Aizawa SI. Morphological pathway of flagellar assembly in *Salmonella typhimurium*. *J Mol Biol*, 1992; 226 (2): 433-446.
- (15) Kubori T, Sukhan A, Aizawa SI, Galán JE. Molecular characterization and assembly of the needle complex of the *Salmonella typhimurium* type III protein secretion system. *Proc Natl Acad Sci USA*, 2000; 97 (18): 10225.
- (16) Lowder BJ, Duyvesteyn MD, Blair DF. FliG subunit arrangement in the flagellar rotor probed by targeted cross-linking. *J Bacteriol*, 2005; 187 (16): 5640-5647.
- (17) Macnab RM. How bacteria assemble flagella. *Annu Rev Microbiol*, 2003; 57 (1): 77-100.
- (18) Maki-Yonekura S, Yonekura K, Namba K. Domain movements of HAP2 in the cap-filament complex formation and growth process of the bacterial flagellum. *Proc Natl Acad Sci USA*, 2003; 100 (26): 15528.
- (19) Manson MD. Dynamic motors for bacterial flagella. *Proc Natl Acad Sci USA*, 2010; 107 (25): 1115.
- (20) McCall D, Stock D, Achey P. Introduction to Microbiology: 11th hour. Blackwell Science Inc, 2001, 289 pp.
- (21) Minamino T, Chu R, Yamaguchi S, Macnab RM. Role of FliJ in flagellar protein export in *Salmonella*. *J Bacteriol*, 2000a; 182 (15): 4207.
- (22) Minamino T, Chu R, Yamaguchi S, Macnab RM. Role of FliJ in Flagellar Protein Export in *Salmonella*. *J Bacteriol*, 2000b; 182 (15): 4207-4215.
- (23) Minamino T, Imada K, Namba K. Molecular motors of the bacterial flagella. *Curr Opin Struc Biol*, 2008; 18 (6): 693-701.
- (24) Minamino T, Macnab RM. Components of the *Salmonella* flagellar export apparatus and classification of export substrates. *J Bacteriol*, 1999; 181 (5): 1388-1394.
- (25) Minamino T, Yamaguchi S, Macnab RM. Interaction between FliE and FlgB, a proximal rod component of the flagellar basal body of *Salmonella*. *J Bacteriol*, 2000; 182 (11): 3029.
- (26) Mitsui T, Ohshima H. Proposed model for the flagellar rotary motor. *Colloids and Surfaces B: Biointerfaces*, 2005; 46 (1): 32-44.
- (27) Nambu T, Kutsukake K. The *Salmonella* FlgA protein, a putative periplasmic chaperone essential for flagellar P ring formation. *Microbiology*, 2000; 146 (5): 1171.
- (28) Nambu T, Minamino T, Macnab RM, Kutsukake K. Peptidoglycan-Hydrolyzing Activity of the FlgJ Protein, Essential for Flagellar Rod Formation in *Salmonella typhimurium*. *J Bacteriol*, 1999; 181 (5): 1555-1561.
- (29) Ohnishi K, Fan F, Schoenhals GJ, Kihara M, Macnab RM. The FliO, FliP, FliQ, and FliR proteins of *Salmonella typhimurium*: putative components for flagellar assembly. *J Bacteriol*, 1997; 179 (19): 6092-6099.
- (30) Ohnishi K, Ohto Y, Aizawa S, Macnab RM, Iino T. FlgD is a scaffolding protein needed for flagellar hook assembly in *Salmonella typhimurium*. *J Bacteriol*, 1994; 176 (8): 2272-2281.
- (31) Samatey FA, Imada K, Nagashima S, Vonderviszt F, Kumasaka T, Yamamoto M, Namba K. Structure of the bacterial flagellar protofilament and implications for a switch for supercoiling. *Nature*, 2001; 410 (6826): 331-337.
- (32) Samatey FA, Matsunami H, Imada K, Nagashima S, Shaikh TR, Thomas DR, Namba K. Structure of the bacterial

- flagellar hook and implication for the molecular universal joint mechanism. *Nature*, 2004; 431 (7012): 1062-1068.
- (33) Schoenhals GJ, Macnab RM. FliL is a membrane-associated component of the flagellar basal body of *Salmonella*. *Microbiology*, 1999; 145 (7): 1769-1775.
- (34) Shi W, Lux R. Focal adhesion: getting a grasp on myxobacterial gliding. *Nat Chem Biol*, 2007; 3 (4): 205-206.
- (35) Suzuki H, Yonekura K, Namba K. Structure of the rotor of the bacterial flagellar motor revealed by electron cryomicroscopy and single-particle image analysis. *J Mol Biol*, 2004; 337 (1): 105-113.
- (36) Szurmant H, Muff TJ, Ordal GW. *Bacillus subtilis* CheC and FliY are members of a novel class of CheY-P-hydrolyzing proteins in the chemotactic signal transduction cascade. *Nat Chem Biol*, 2004; 279 (21): 21787-21792.
- (37) Tang H, Blair DF. Regulated underexpression of the FliM protein of *Escherichia coli* and evidence for a location in the flagellar motor distinct from the MotA/MotB torque generators. *J Bacteriol*, 1995; 177 (12): 3485-3495.
- (38) Terashima H, Kojima S, Homma M. Flagellar Motility in Bacteria: Structure and Function of Flagellar Motor. *Int Rev Cell Mol*, 2008; 270: 39-85.
- (39) Van Way, SM, Hosking ER, Braun TF, Manson MD. Mot protein assembly into the bacterial flagellum: a model based on mutational analysis of the motB gene1. *J Mol Biol*, 2000; 297 (1): 7-24.
- (40) Yonekura K, Maki-Yonekura S, Namba K. Complete atomic model of the bacterial flagellar filament by electron cryomicroscopy. *Nature*, 2003; 424 (6949): 643-650.
- (41) Yonekura K, Maki S, Morgan DG, Derosier DJ, Vonderviszt F, Imada K, Namba K. The bacterial flagellar cap as the rotary promoter of flagellin self-assembly. *Science*, 2000; 290 (5499): 2148-2152.
- (42) Zhou J, Lloyd SA, Blair DF. Electrostatic interactions between rotor and stator in the bacterial flagellar motor. *Proc Natl Acad Sci USA*, 1998; 95 (11): 6436.